

УДК 532.59.013.4:539.3

© 1999 г. А.В. МАРЧЕНКО

## УСТОЙЧИВОСТЬ ИЗГИБНО-ГРАВИТАЦИОННЫХ ВОЛН И КУБИЧЕСКИЕ ВЗАИМОДЕЙСТВИЯ

Исследуется устойчивость периодической изгибно-гравитационной волны с волновым вектором  $k_W$ , где  $|k_W| < k_{\min}$  и величина  $k_{\min}$  определена в [1]. Показано, что при  $|k_W| \neq k^{(2)}$  сильные изменения параметров волны не связаны с квадратичными взаимодействиями с шумовыми гармониками. При  $|k_W| = k^{(2)}$  неустойчивость обусловлена процессом генерации второй гармоники. При  $|k_W| = k^{(3)} < k^{(2)}$  неустойчивость связана с генерацией третьей гармоники. В остальных случаях неустойчивость проявляется в распаде огибающей периодической волны на солитоны (неустойчивость Бенджамена – Фейра). При этом, если глубина жидкости меньше или сравнима с длиной волны, возможны ситуации, когда периодическая волна неустойчива только по отношению к возмущениям, направлению распространения которых составляет ненулевой угол с  $k_W$ . Если глубина жидкости велика, то неустойчивость по отношению к "косым" возмущениям всегда влечет неустойчивость по отношению к возмущениям, не меняющим форму волны в направлении ее гребней.

В [1] показано, что при распространении периодической изгибно-гравитационной волны  $W$  с волновым числом  $k_W > k_{\min}$  происходит значительное уменьшение начальной амплитуды волны  $a_W$  в результате ее взаимодействия с "шумовыми" изгибно-гравитационными волнами малых амплитуд. При этом за время порядка  $\varepsilon^{-1} = a_W/l$ , где  $l$  – длина волны, значительно возрастают амплитуды двух или четырех резонансных шумовых гармоник. Этот процесс – основной механизм неустойчивости волны при  $k_W > k_{\min}$  и связан с квадратичными трехволновыми взаимодействиями. Характерное время этих взаимодействий порядка  $\varepsilon^{-1}$  – наименьшее среди характерных времен нелинейных резонансных взаимодействий более высоких порядков.

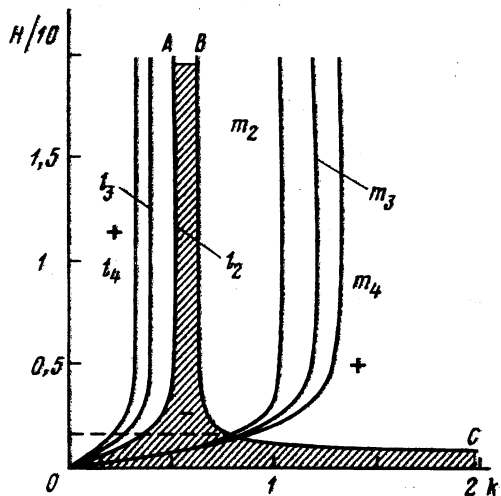
Показано [1], что если  $k_W < k_{\min}$  и  $k_W \neq k_{\min}/2$ , то амплитуда волны  $W$  не может сильно измениться за счет квадратичных взаимодействий с шумовыми гармониками. В этом случае сильные изменения параметров волны  $W$  могут быть связаны с кубическими взаимодействиями и дисперсионными эффектами. Типичный пример – неустойчивость Бенджамена – Фейра [2], приводящая к распаду огибающей периодической гравитационной волны на уединенные волны. Другой механизм неустойчивости, связанный с резонансным возбуждением нулевой гармоники или среднего течения, исследовался ранее для капиллярно-гравитационных волн [3].

Целью данной работы является исследование нелинейных процессов с характерными временами порядка  $\varepsilon^{-2}$ , приводящих к сильному искажению начальных параметров волны  $W$  при  $k_W < k_{\min}$ . К таким процессам относятся генерация кратных гармоник, генерация среднего течения, самовоздействие и дисперсионные явления.

При получении асимптотических уравнений использовались асимптотические уравнения, полученные в [1] в обезразмеренном виде.

**1. Генерация высших гармоник.** Для резонансного возбуждения  $N$ -й гармоники необходимо, чтобы волновое число  $k = k_W$  удовлетворяло соотношению [1]

$$\omega(Nk) = N\omega(k) \quad (1.1)$$



Фиг. 1. Представление условий резонансного возбуждения 2, 3 и 4-й гармоник изгибно-гравитационных волн на плоскости  $(k, H)$ . В заштрихованной области коэффициент  $\kappa_1 < 0$

где  $\omega^2(k) = k \tanh kH(1 + k^4)$  – дисперсионное соотношение линейного приближения.

На фиг. 1 представлены резонансные кривые для резонансов на второй, третьей и четвертой гармониках на плоскости  $(k, H)$ . Кривые  $l_N (N = 2, 3, 4, \dots)$  определяют зависимость волнового числа  $k^{(N)}$  волны, находящейся в резонансе со своей  $N$ -й гармоникой, от глубины  $H$ . Кривые  $m_N$  определяют зависимость  $Nk^{(N)}$  от  $H$ . Каждая кривая  $l_N$  имеет вертикальную асимптоту  $k^4 = ((N - 1)(N^2 + N + 1))^{-1}$ .

Уравнения генерации третьей гармоники могут быть приведены к виду

$$i \frac{d}{dT} \varphi_1 = (\kappa_1(k^{(3)}) |\varphi_1|^2 + \kappa_{13} |\varphi_3|^2) \varphi_1 + 3\nu(\varphi_1^*)^2 \varphi_3 \quad (1.2)$$

$$i \frac{d}{dT} \varphi_3 = (\kappa_1(3k^{(3)}) |\varphi_3|^2 + \kappa_{13} |\varphi_1|^2) \varphi_3 + \nu \varphi_1^3$$

$$T = \varepsilon^2 t$$

Коэффициент  $\kappa_1$  приведен в (3.1). Коэффициенты  $\kappa_{13}$  и  $\nu$  не приводятся, так как не влияют на особенности качественного поведения решения (1.2). Из (1.2) вытекает, что характерное время процесса генерации третьей гармоники порядка  $\varepsilon^{-2}$ .

Уравнения (1.2) имеют два интеграла. Один из них – аналог соотношений Мэнли – Роу для трехволновых взаимодействий

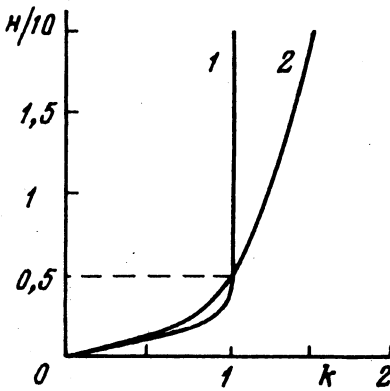
$$E_1 + 3E_3 = E_1^0 + 3E_3^0 \quad (1.3)$$

$$E_j = |\varphi_j|^2$$

Второй интеграл – гамильтониан системы (1.2)

$$\Gamma = \frac{1}{2} (\kappa_1(k^{(3)}) |\varphi_1|^4 + \kappa_1(3k^{(3)}) |\varphi_3|^4) + \kappa_{13} |\varphi_1|^2 |\varphi_3|^2 + \nu((\varphi_1^*)^3 \varphi_3 + \varphi_1^3 \varphi_3^*) \quad (1.4)$$

Отсюда видно, что если  $\kappa_1(k^{(3)})$  и  $\kappa_1(3k^{(3)})$  имеют разные знаки, то процесс полной передачи энергии из первой в третью гармонику невозможен, если в начальный момент времени вся энергия была заключена в волне  $\kappa_1(k^{(3)})$ . Действительно, если это так, то знаки  $\Gamma$  при  $t = 0$  и  $t = \infty$  различны, что не может выполняться. Поэтому для



Фиг. 2. Представление условия резонансного возбуждения среднего течения на плоскости  $(k, H)$

полной передачи энергии в этом случае необходимо, чтобы амплитуда  $\varphi_3$  была больше некоторой критической величины. Если же знаки  $\chi_1(k^{(3)})$  и  $\chi_1(3k^{(3)})$  совпадают, то процесс полной передачи энергии из первой в третью гармонику возможен. На фиг. 1 в плоскости  $(k, H)$  представлены кривые  $OA$  и  $BC$ , на которых происходит перемена знака коэффициента  $\chi_1$ . Заштрихована область, где  $\chi_1 < 0$ . Видно, что при больших глубинах знаки  $\chi_1(k^{(3)})$  и  $\chi_1(3k^{(3)})$  совпадают. Если глубина достаточно мала  $H < H_{\text{ст}}^{(3)}$ , то знаки этих коэффициентов могут быть различными.

Уравнения (1.2) могут быть проинтегрированы и сведены к квадратуре

$$\left(\frac{dE_3}{dt}\right)^2 = P_4(E_3)$$

$$P_4(E_3) = 4v^2 E_3 E_1^2 - \left[\Gamma - \frac{1}{2}(\chi_1(k^{(3)})E_1^2 + \chi_1(3k^{(3)})E_3^2) - \chi_{13}E_1 E_3\right]^2$$

Правая часть этого уравнения при больших  $E_3$  меньше нуля. В начальный момент времени в силу интеграла (1.4) правая часть больше нуля. Поэтому всегда существует значение  $E_3 > 0$ , при котором  $P_4 = 0$ , и решение (1.2) всегда ограничено.

Отметим, что генерация  $N$ -й гармоники при  $N > 3$  описывается системой уравнений

$$i \frac{d}{dT} \varphi_1 = (\chi_1(k^{(N)}) |\varphi_1|^2 + \chi_{1N} |\varphi_N|^2) \varphi_1 \quad (1.5)$$

$$i \frac{d}{dT} \varphi_N = (\chi_1(Nk^{(N)}) |\varphi_N|^2 + \chi_{1N} |\varphi_1|^2) \varphi_N$$

$$T = \varepsilon^2 t$$

Из (1.5) следует, что  $|\varphi_{1,3}| = \text{const}$ . Поэтому при  $N > 3$  на временах порядка  $\varepsilon^{-2}$  обмен энергией между резонансными гармониками не происходит. Их взаимодействие сводится только к взаимным фазовым поправкам.

**2. Генерация среднего течения.** Волны с волновыми числами, по модулю меньшими  $k_{\text{min}}$ , могут быть только вторичными в резонансных триадах. Отсюда следует, что их амплитуда не может существенно уменьшиться в результате обмена энергией с шумовыми гармониками малых амплитуд. При распространении таких волн на достаточно больших временах проявляется совокупное влияние дисперсии и самовоздействия. При уменьшении глубины жидкости  $k_{\text{min}}$  уменьшается и при  $H \rightarrow 0$  выполняется  $k_{\text{min}} \rightarrow 0$ . Зависимость  $k_{\text{min}}$  от  $H$  представлена на фиг. 2.

Исследуем влияние дисперсии и самовоздействия на эволюцию волнового пакета  $\varphi_1$ , спектр которого локализован вблизи одного волнового вектора  $\mathbf{k}_W = (k, 0)$ , где  $k < k_{\text{min}}$ . В частном случае для периодической волны  $W$  выполняется  $\varphi_1 = \varphi_1(T)$ . С точностью до  $O(\varepsilon^2)$  порядка из уравнений (1.7) в [1] находим

$$i \frac{m^2 \omega_1^2 - \omega_m^2}{m \omega_1} \varphi_m + 2\varepsilon \left( \frac{\partial}{\partial T} + \omega_{x,m} \frac{\partial}{\partial X} \right) \varphi_m + \varepsilon \sum_n \alpha_{mn} \varphi_{m-n} \varphi_n + i\varepsilon^2 \omega_{\alpha\beta,m} \nabla_{\alpha\beta} \varphi_m + \quad (2.1)$$

$$+ i\varepsilon^2 \sum_n \beta_{mn} |\varphi_j|^2 \varphi_m + i\varepsilon^2 (\gamma_m \frac{\partial}{\partial T} \varphi_0 + \delta_m \frac{\partial}{\partial X} \varphi_0) \varphi_m = 0$$

$$\left( \frac{\partial^2}{\partial T^2} - H\Delta \right) \varphi_0 + \sum_m \left[ \frac{1}{2} ((mk)^2 - (\lambda_\eta^m)^2) \frac{\partial}{\partial T} + \frac{\lambda_\eta^m}{\omega_m} mk \frac{\partial}{\partial X} \right] |\varphi_m|^2 = 0$$

где индекс  $m = \pm 1, \pm 2, \pm 3, \dots$  соответствует  $m$ -й гармонике. Индексы  $\alpha, \beta$  равны  $x$  или  $y$ . Коэффициенты  $\alpha_{mn}, \beta_{mn}, \gamma_m$  и  $\delta_m$  выражаются через  $\lambda_\eta^m$  и  $\lambda_\phi^m$  и здесь не приводятся, так как имеют громоздкий вид.

Из (2.1) следует, что если гармоники выше второй имели в начальные моменты времени амплитуды порядка  $o(\epsilon^2)$ , то с течением времени порядок амплитуд сохранится. При этом предполагается, что волновое число  $k$  не удовлетворяет условиям (1.1) генерации высших гармоник.

Из уравнений (2.1) вытекает, что характерные времена, на которых проявляется влияние самовоздействия и дисперсии, имеют одинаковый порядок со временем генерации нулевой гармоники  $\varphi_0$ , которая обычно называется средним течением. Поэтому асимптотические уравнения (2.1) описывают эффекты самовоздействия, дисперсии, генерации среднего течения и резонансного взаимодействия длинных и коротких волн.

Второе уравнение (2.1) называется уравнением генерации среднего течения  $\varphi_0$ . Видно, что если величины  $\varphi_m = 0$ , то уравнение для среднего течения переходит в уравнение для распространения длинных поверхностных волн в слое жидкости глубины  $H$ .

Решение уравнения для среднего течения состоит из суммы свободной длинной гравитационной волны и вынужденных волн, распространяющихся вместе с пакетами  $\varphi_m$ . Если в начальный момент времени вся волновая энергия содержалась в волновом пакете  $\varphi_1$ , то с течением времени в отсутствие резонансов на кратных гармониках амплитуды  $\varphi_m$  при  $m \neq 1$  будут малы по сравнению с амплитудой  $\varphi_1$ . Поэтому главная часть вынужденного среднего течения будет формироваться под влиянием  $\varphi_1$ . В этом случае можно приближенно положить

$$\frac{\partial}{\partial T} = -\omega_{x,1} \frac{\partial}{\partial X} + O(\epsilon) \quad (2.2)$$

Подставляя (2.2) в уравнение для среднего течения и учитывая в правой части только волну  $\varphi_1$ , находим

$$\frac{H - \omega_{x,1}^2}{H} \frac{\partial^2 \varphi_0}{\partial X^2} + \frac{\partial^2 \varphi_0}{\partial Y^2} = -\frac{1}{H} \left[ \omega_{x,1} \left( k^2 - (\lambda_\eta^1)^2 \right) + 2 \frac{k\lambda_\eta^1}{\omega_1} \right] \frac{\partial}{\partial X} |\varphi_1|^2 \quad (2.3)$$

Отсюда видно, что при перемене знака параметра  $\alpha = (H - \omega_{x,1}^2)/H$  уравнение (2.3) меняет свой тип с эллиптического на гиперболический. Условие  $\alpha = 0$  эквивалентно условию равенства групповой скорости волны  $\varphi_1$  и скорости распространения длинных волн.

На фиг. 2 на плоскости безразмерных переменных  $(k, H)$  представлена кривая  $k = k^{(0)}(H)$  (2), на которой  $\alpha = 0$ , и кривая  $k = k_{\min}(H)$  (1). Кривая 2 лежит в области  $k < k_{\min}$  только при глубинах  $H < H_{cr}^{(0)} \approx 5$ . В этом случае резонансное взаимодействие длинной и короткой волн проявляется наиболее заметно. При больших глубинах квадратичные резонансные взаимодействия преобладают, так как короткая волна, резонансно взаимодействующая с длинной волной, может являться волной накачки в трехволновом процессе.

Условие  $\alpha = 0$  является условием резонансного взаимодействия длинной и короткой волн. Действительно, предположим, что волновой пакет  $\varphi_1$  не зависит от  $Y$ . В этом случае из (3.3) следует, что амплитуда вынужденной волны  $\varphi_0$  стремится к беско-

нечности при  $\alpha \rightarrow 0$ . Условие  $\alpha = 0$  может быть получено предельным переходом из условия резонансного взаимодействия трех волн  $\omega(k_1) + \omega(k_2) = \omega(k_1 + k_2)$ , когда волновое число  $k_1$  или  $k_2$  стремится к нулю.

Сделаем замену переменных  $\phi_1 = \varepsilon^{-1/2} \phi_1$ ,  $T' = \varepsilon T$  и перейдем в систему координат, движущуюся со скоростью  $\omega_{x,1}$ . Из (2.1) находим с точностью до членов более высокого порядка по  $\varepsilon$

$$\frac{\partial \phi_1}{\partial T} + i \frac{\omega_{x,1}}{2} \frac{\partial^2 \phi_1}{\partial X^2} + ik\phi_1 u_0 = 0 \quad (2.4)$$

$$\omega_{x,1} \frac{\partial u_0}{\partial T} + \frac{\lambda_{\eta}^1 k}{\omega_1} \frac{\partial |\phi_1|^2}{\partial X} = 0, \quad u_0 = \frac{\partial \Phi_0}{\partial X}$$

где штрих у переменной  $T$  опущен. Аналогичная система уравнений получена в [3] для капиллярно-гравитационных волн.

Пусть основное движение жидкости вызывается длинной волной  $u_0$ , а  $|\phi_1| \ll 1$  при  $t = 0$ . Линеаризуя (2.4) относительно  $\phi_1$ , находим

$$u_0 = u_0(X), \quad i \frac{\partial \phi_1}{\partial T} = L\phi_1, \quad L = \omega_{x,1} \frac{\partial}{\partial X^2} + k u_0 \quad (2.5)$$

Рассмотрим частные решения (2.5), периодические во времени. Подставляя  $\phi_1 = \psi_1 \exp(i\lambda T)$  в (2.5), находим

$$(L + \lambda)\psi_1 = 0 \quad (2.6)$$

Для потенциала  $u_0(X)$ , достаточно гладкого и обращающегося в нуль при  $|x| \rightarrow \infty$ , уравнение (2.6) имеет ограниченные решения при  $\lambda \geq 0$  и при некоторых дискретных значениях  $\lambda < 0$ . Собственные значения дискретного спектра соответствуют убывающим при  $|x| \rightarrow \infty$  решениям (2.6). Для периодического потенциала  $u_0(X)$  ограниченное решение (2.6) существует, если  $\lambda$  не лежит в запрещенных зонах, ограниченных дискретным набором точек  $\lambda_n$ .

В любом случае влияние длинной волны на короткую волну малой амплитуды не приводит к существенному росту ее и сводится только к эффектам амплитудной модуляции короткой волны.

Рассмотрим случай, когда  $|u_0| \ll 1$  и движение жидкости в основном вызывается волной  $\phi_1$ . Линеаризуем (2.4) относительно  $u_0$

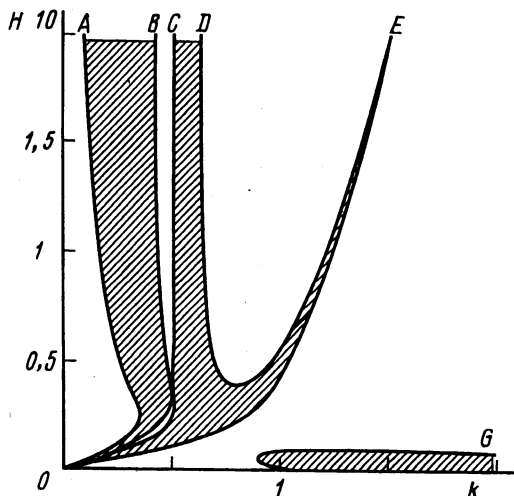
$$i \frac{\partial \phi_1}{\partial T} = \frac{\omega_{x,1}}{2} \frac{\partial^2 \phi_1}{\partial X^2}, \quad \frac{\partial u_0}{\partial T} = -\frac{\lambda_{\eta}^1 k}{\omega_1 \omega_{x,1}} \frac{\partial |\phi_1|^2}{\partial X} \quad (2.7)$$

Из (2.7) видно, что  $u_0$  возрастает пропорционально времени. При выполнении условия  $u_0 \approx \phi_1$  необходимо учитывать влияние  $u_0$  на  $\phi_1$ . Переходя к потенциалу  $\Phi_1$ , находим, что амплитуда длинной волны в этом случае должна быть в  $\varepsilon^{-1/2}$  раз больше амплитуды короткой волны. Заметим, что если волна  $W$  периодическая, то  $\Phi_1 = \text{const}$  и возбуждение среднего течения не происходит.

**3. Самовоздействие и дисперсия.** В случае, когда условие резонансного взаимодействия длинной и короткой волн не выполнено и  $\alpha \neq 0$ , асимптотические уравнения (2.1) с точностью до малых высшего порядка сводятся к системе уравнений

$$\left( i \frac{\partial}{\partial T} + \frac{\omega_{x,1}}{2} \frac{\partial^2}{\partial X^2} + \frac{\omega_{x,1}}{2k} \frac{\partial^2}{\partial Y^2} \right) \Phi_1 = \kappa_1 |\Phi_1|^2 \Phi_1 + \kappa_2 \Phi_1 \frac{\partial}{\partial X} \Phi_0 \quad (3.1)$$

$$\left( \alpha \frac{\partial^2}{\partial X^2} + \frac{\partial^2}{\partial Y^2} \right) \Phi_0 = -\kappa_3 \frac{\partial}{\partial X} |\Phi_1|^2$$



Фиг. 3. Представление областей устойчивости и неустойчивости периодической изгибно-гравитационной волны по отношению к попутным периодическим возмущениям ее амплитуды на плоскости  $(k, H)$ . В заштрихованной области волна неустойчива

$$2\omega_1\kappa_1 = 2(\lambda_\eta^1)^2(\lambda_\eta^1\lambda_\eta^2 - k^2) - \lambda_\eta^1(k^2 - (\lambda_\eta^1)^2)^2 + [4(2k^2 - \lambda_\eta^1\lambda_\eta^2)(\lambda_\eta^1\lambda_\eta^2(2k^2 - \lambda_\eta^1\lambda_\eta^2) + \omega_1^2(k^2 + (\lambda_\eta^1)^2)) + \lambda_\eta^1(k^2 + (\lambda_\eta^1)^2)(8\lambda_\eta^1k^2 + \lambda_\eta^2k^2 - 3(\lambda_\eta^1)^2\lambda_\eta^2)][2(4\omega_1^2 - \omega_2^2)]^{-1}$$

$$2\omega_1\kappa_2 = \omega_{x,1} \frac{\lambda_\eta^1(k^2 - (\lambda_\eta^1)^2)}{2\omega_1} + k, \quad \kappa_3 = \frac{1}{H} \left[ \omega_{x,1}(k^2 - (\lambda_\eta^1)^2) + 2 \frac{k\lambda_\eta^1}{\omega_1} \right]$$

Аналогичная система уравнений для капиллярно-гравитационных волн получена в [4].

На фиг. 3 на плоскости  $(H, k)$  представлены кривые  $OA, OB, OC, OE, DE$  и  $HG$ . На этих кривых происходит изменение знака одного из параметров, характеризующих свойства определенного типа решений системы (3.1). Рассматриваются следующие параметры:  $\omega_{x,1}, \alpha, \kappa_4 \equiv \kappa_1 - \kappa_2\kappa_3/\alpha$ . Характерный размер длины  $\lambda$ , так же как и ранее, выбран так, что  $D = 1$ .

На кривой  $OB$  выполняется условие  $\omega_{x,1} = 0$ , при этом слева от  $OB$   $\omega_{x,1} < 0$  и справа от  $OB$   $\omega_{x,1} > 0$ . Волновые пакеты малой амплитуды со спектром в окрестности  $OB$  испытывают слабое дисперсионное распыление, их амплитуда уменьшается со временем как  $t^{-1/3}$  в отличие от остальных волн, амплитуда которых спадает как  $t^{-1/2}$ .

На кривой  $OE$  выполняется  $\alpha = 0$ , знак  $\alpha$  изменяется с плюса на минус при пересечении кривой  $OE$  слева направо. Как отмечалось выше, кривая  $OE$  – резонансная, т.е. волновой пакет с волновым числом, лежащим на  $OE$ , возбуждает резонансным образом нулевую гармонику или длинную волну. На кривой  $OE$  обращается в бесконечность коэффициент  $\kappa_4$ , знак этого коэффициента изменяется с минуса на плюс при пересечении  $OE$  слева направо.

Другой резонансной кривой является  $OC$ . Волновые числа, лежащие на  $OC$ , удовлетворяют резонансному условию генерации второй гармоники и равны  $k_{min}/2$ . На этой кривой обращаются в бесконечность коэффициенты  $\kappa_1$  и  $\kappa_4$ . При этом их знаки изменяются с плюса на минус при пересечении  $OC$  слева направо. Очевидно, что

вблизи резонансных кривых  $OE$  и  $OC$  нарушаются предположения, сделанные при выводе (3.1).

На кривых  $OA$ ,  $DE$  и  $HG$  выполняется  $\kappa_4 = 0$ . Знак  $\kappa_4$  при пересечении этих кривых слева направо меняется с минуса на плюс на  $AB$  и с плюса на минус на  $HG$ . В области, вырезаемой кривой  $DE$  на плоскости  $(H, k)$ , выполняется  $\kappa_4 > 0$ .

На фиг. 3 координата  $H$  точек  $A, B, C, D, E$  равна бесконечности. Точка  $A$  лежит на оси  $H$ , т.е. кривая  $OA$  при больших  $H$  асимптотически приближается к оси  $H$ . Кривая  $OC$  имеет асимптоту  $k = (1/14)^{1/4}$ , кривая  $OB$  имеет асимптоту  $k = k_0$ , где  $k_0$  удовлетворяет уравнению  $-1 + 30k_0^4 + 15k_0^8 = 0$ , кривая  $DE$  имеет вертикальную асимптоту  $k = (2/13)^{1/4}$ . При больших  $k$  асимптотика кривых  $DE$  и  $OE$  определяется формулой  $H \approx 25/4k^5$ . Точка  $G$  лежит на оси  $k$ , т.е. при больших  $k$  кривая  $HG$  асимптотически приближается к оси  $k$ . Кривые  $OC$  и  $OB$  пересекаются.

При  $H \rightarrow \infty$  выполняется  $\kappa_3 \rightarrow 0$  и среднее течение исчезает. В этом коротковолновом пределе система уравнений (3.1) сводится к одному нелинейному уравнению Шредингера

$$\left( i \frac{\partial}{\partial T} + \frac{\omega_{xx,1}}{2} \frac{\partial^2}{\partial X^2} + \frac{\omega_{x,1}}{2k} \frac{\partial^2}{\partial Y^2} \right) \Phi_1 = \frac{k^4(2-13k^4)}{\omega_1(1-14k^4)} |\Phi_1|^2 \Phi_1 \quad (3.2)$$

В случае произвольной глубины  $H$  среднее течение исключается из (3.1) в случае, когда форма волнового пакета  $\Phi_1$  постоянна вдоль оси  $Y$ . Тогда после интегрирования второго уравнения (3.1) и подстановки выражения для  $\partial\Phi_0/\partial X$  в первое уравнение находим

$$\left( i \frac{\partial}{\partial T} + \frac{\omega_{xx,1}}{2} \frac{\partial^2}{\partial X^2} \right) \Phi_1 = \kappa_4 |\Phi_1|^2 \Phi_1 \quad (3.3)$$

При выполнении  $\omega_{xx,1}\kappa_4 < 0$  имеет место неустойчивость Бенджамина – Фейра [2], приводящая к распаду периодической волны на волновые пакеты с оггибающими – солитонами. Решение (3.1) и (3.3), соответствующее периодической волне, имеет вид  $\Phi_1 = \Phi_1^{(0)} \exp(i\kappa_4 T)$  и  $\Phi_0 = 0$ , где  $\Phi_1^{(0)}$  равно амплитуде волны, а величина  $\kappa_4$  равна стоксовому сдвигу частоты линейной волны. Области неустойчивости заштрихованы на фиг. 3.

Рассмотрим вопрос об устойчивости периодической волны по отношению к малым возмущениям, распространяющимся под произвольным углом к оси  $X$ . Положим

$$\Phi_1 = (\Phi_1^{(0)} + \epsilon\psi_1) \exp(i(\kappa_4 T + \epsilon\theta_1)), \quad \Phi_0 = \epsilon\psi_0 \quad (3.4)$$

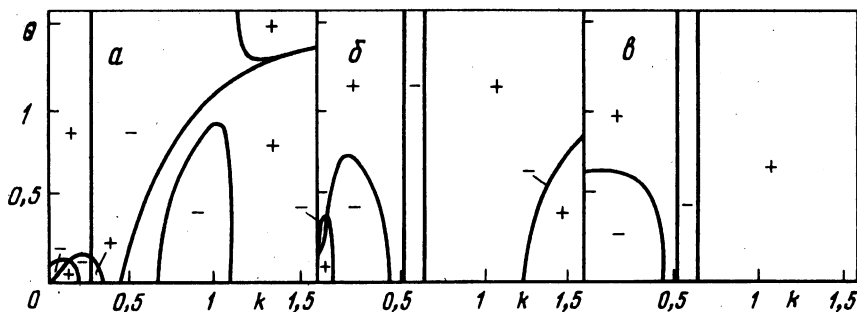
Подставляя (3.4) в (3.1), учитывая только слагаемые первого порядка по  $\epsilon$  и представляя решения полученных линейных уравнений в виде Фурье-интегралов, находим, что условие существования ненулевого решения для  $\psi_1, \psi_0$  и  $\theta_1$  имеет вид

$$2S^2 = \frac{1}{2} \left( \omega_{xx,1} R_x^2 + \frac{\omega_{x,1}}{k} R_y^2 \right)^2 + 2\Phi_1^{(0)} \left( \omega_{xx,1} R_x^2 + \frac{\omega_{x,1}}{k} R_y^2 \right) \left( \kappa_1 - \frac{\kappa_2 \kappa_3 R_x^2}{\alpha R_x^2 + R_y^2} \right) \quad (3.5)$$

Здесь вектор  $(R_x, R_y)$  – волновой вектор возмущения, величина  $\exp(iST)$  определяет временную эволюцию амплитуды возмущения.

Видно, что если правая часть в (3.5) меньше нуля, то величина  $S$  мнимая и имеет место неустойчивость. Очевидно, что при  $R_y = 0$  условие неустойчивости сводится к критерию Бенджамина – Фейра. При  $R_x = 0$  неустойчивость имеет место при  $\kappa_1 < 0$ .

В общем случае при отрицательности последнего слагаемого в правой части (3.5)



Фиг. 4. Представление областей устойчивости (+) и неустойчивости (-) периодической изгибно-гравитационной волны по отношению к периодическим возмущениям ее амплитуды, составляющим угол  $\theta$  с направлением распространения волны;  $H = 1(a)$ ,  $10(b)$  и  $\infty(c)$

имеет место неустойчивость для достаточно больших амплитуд  $\varphi_1^{(0)}$ . Это условие совпадает с условием существования солитонов огибающих, модулирующих периодическую волну в направлении, определяемом вектором  $(R_x, R_y)$ . Действительно, рассмотрим решения (3.1), удовлетворяющие условию

$$\varphi_1 = \varphi_1(T, \xi), \quad \varphi_0 = \varphi_0(T, \xi), \quad \xi = R_x X + R_y Y \quad (3.6)$$

Подставляя (3.6) в (3.1), находим

$$\left( i \frac{\partial}{\partial T} + \lambda \frac{\partial^2}{\partial \xi^2} \right) \varphi_1 = \kappa_4 |\varphi_1|^2 \varphi_1 \quad (3.7)$$

$$\lambda = \frac{1}{2} \left( \omega_{xx,1} R_x^2 + \frac{\omega_{x,1}}{k} R_y^2 \right), \quad \kappa_4^* = \kappa_1 - \frac{\kappa_2 \kappa_3 R_x^2}{\alpha R_x^2 + R_y^2}$$

Односолитонное решение имеет вид

$$\varphi_1 = A \cos h[B(T + \xi)] e^{i(sT + r\xi)}$$

$$A^2 = -2 \frac{s+r^2}{\tilde{\kappa}_4}, \quad B^2 = \frac{s+r^2}{\lambda}, \quad r = -\frac{1}{2\lambda}$$

Видно, что для положительности  $A^2$  и  $B^2$  должно выполняться  $\lambda \kappa_4^* < 0$ .

Легко видеть, что критерий неустойчивости  $\lambda \kappa_4^* < 0$  зависит только от направления вектора  $(R_x, R_y)$  и не зависит от его модуля. Обозначив  $\mathbf{R} = R(\cos \theta, \sin \theta)$ , запишем критерий неустойчивости в виде

$$\Lambda < 0, \quad \Lambda = \left( \omega_{xx,1} \cos^2 \theta + \frac{\omega_{x,1}}{k} \sin^2 \theta \right) \left( \kappa_1 - \frac{\kappa_2 \kappa_3 \cos^2 \theta}{\alpha \cos^2 \theta + \sin^2 \theta} \right) \quad (3.8)$$

На фиг. 4 представлены кривые на плоскости  $(k, \theta)$ , на которых  $\Lambda = 0$  для различных значений глубины  $H$ . Знаки плюс и минус обозначают области, в которых  $\Lambda > 0$  и  $\Lambda < 0$  соответственно. Видно, что в бесконечно глубокой жидкости из неустойчивости периодической волны по отношению к возмущениям с  $\theta \neq 0$  всегда следует неустойчивость по отношению к возмущениям с  $\theta = 0$ . Если же глубина жидкости сравнима с длиной волны, то возможна ситуация, когда периодическая волна неустойчива только по отношению к возмущениям, составляющим с направлением распространения волны ненулевой угол.

**Заключение.** Показано, что при  $k_W = k^{(3)}$ , где  $3\omega(k^{(3)}) = \omega(3k^{(3)})$ , неустойчивость



волны  $W$  обусловлена энергетическим обменом с третьей гармоникой. Характерное время этого процесса порядка  $\varepsilon^{-2}$ . При этом если глубина жидкости меньше критического значения  $H_{cr}^{(3)}$ , то полная передача энергии волны  $W$  своей третьей гармонике возможна, если амплитуда третьей гармоники больше некоторого порогового значения. При  $H > H_{cr}^{(3)}$  пороговый эффект отсутствует и волна  $W$  может передать всю свою энергию третьей гармонике, амплитуда которой как угодно мала в начальный момент времени. Размерная глубина  $H_{cr}^{(3)}$  зависит от жесткости пластины и имеет порядок длины  $l$ .

Если  $k_W \in (0, k_{min})$  и  $k_W \neq k_{min}/2$ ,  $k_W \neq k^{(3)}$ , то неустойчивость Бенджамена – Фейра может в зависимости от глубины жидкости приводить к распаду огибающей волны  $W$  на прямые или косые солитоны. При этом, если глубина жидкости сравнима с длиной волны, возможны ситуации, когда волна  $W$  неустойчива только по отношению к возмущениям, волновые векторы которых составляют ненулевой угол с направлением  $k_W$ . Если глубина жидкости велика, то неустойчивость по отношению к "косым" возмущениям всегда означает неустойчивость по отношению к возмущениям, не меняющим форму волны в направлении ее гребней.

Работа выполнена при финансовой поддержке Российского фонда фундаментальных исследований (96-010-1746) и Международной ассоциации по содействию сотрудничеству с учеными из независимых государств бывшего Советского Союза и Российского фонда фундаментальных исследований (INTAS-RFBR 95-0435).

#### СПИСОК ЛИТЕРАТУРЫ

1. Марченко А.В. Устойчивость изгибно-гравитационных волн и квадратичные взаимодействия // Изв. РАН. МЖГ. 1999. № 1.
2. Benjamin T.B., Feir J.F. The desintegration of wave trains on deep water. Pt 1 // J. Fluid Mech. 1967. V. 27. Pt. 3. P. 471–430.
3. Benney D.J. A general theory for interactions between short and long waves // Stud. Appl. Math. 1976. V. 56. № 1. P. 81–94.
4. Davey A., Stewartson K. On three-dimensional packets of surface waves // Proc. Roy. Soc. London. Ser. A. 1974. V. 338. № 1613. P. 101–110.

Москва

Поступила в редакцию  
18.VIII.1997